



UNIVERSITÀ  
DEGLI STUDI  
FIRENZE  
**DST**  
DIPARTIMENTO DI  
SCIENZE DELLA TERRA



Regione Toscana

## Sorgenti puntuali e sorgenti diffuse di contaminanti: impatto dell'area mineraria di Abbadia San Salvatore sul bacino del fiume Paglia.

COSTAGLIOLA P., RIMONDI V., CHIARANTINI L., COLICA A.,  
BARDELLI F., BENVENUTI M., DI BENEDETTO F., GRAY J.J.,  
LATTANZI P., NANNUCCI M., PAOLIERI M., RINALDI M., SALVADORI  
A.

Firenze 24 settembre 2015



# IS MINING POLLUTION NECESSARILY A POINT SOURCE?



RIO TINTO RIVER (SPAIN)

## WATER QUALITY AND MINING

As much as 90% of the total metal load in mining area is transported by sediment particles (HUDSON-EDWARDS, 2003)

Riverine suspended particulate matter: controls the biogeochemistry of rivers, lakes and seas. Long range transport



# MERCURY

Mercury geoavailability in the environment depends on its *speciation* ...

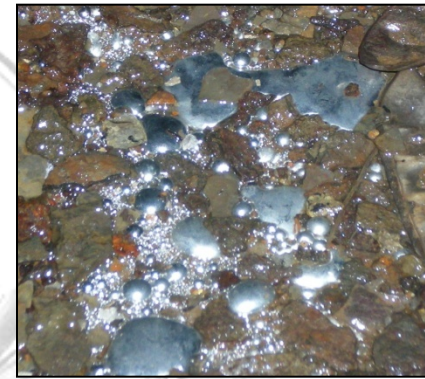
Cinnabar  
( $\alpha$ -HgS)



Metacinnabar  
( $\beta$ -HgS)



Metallic Hg  
(Hg<sup>0</sup>)



Calomel  
(Hg<sub>2</sub>Cl<sub>2</sub>)



$$K_{ps} \sim 10^{-53}$$

$$K_{ps} \sim 10^{-18}$$

Increasing solubility

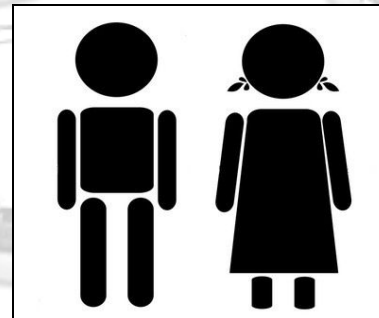
# CICLO BIOGEOCHIMICO

Formazione di composti organici: metil-Hg (MMHg), dimetil-Hg (DMHg)



## Bioaccumulazione

Le reazioni di metilazione occorrono principalmente nei sedimenti (solfobatteri) e sono favorite in ambienti riducenti



## TOSSICITÀ METIL-HG

### Disturbi neurologici (Minamata disease)

Perdita di quoziente intellettivo (1.5 IQ)  
nei bambini per concentrazione di metil-Hg  
nel cordone ombelicale oltre i  $5.8 \mu\text{g L}^{-1}$



EPA: consiglia di limitare il consumo di alcune specie di pesci marini (es. pesce spada): 340 g/settimana per bambini e donne in età fertile

# Sorgenti di mercurio

1. Attività vulcanica e geotermica



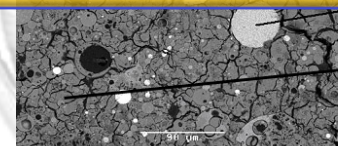
2. Utilizzo combustibili fossili



Emissione diretta di 10-20 t/anno  
di Hg in atmosfera a causa  
dell'attività mineraria



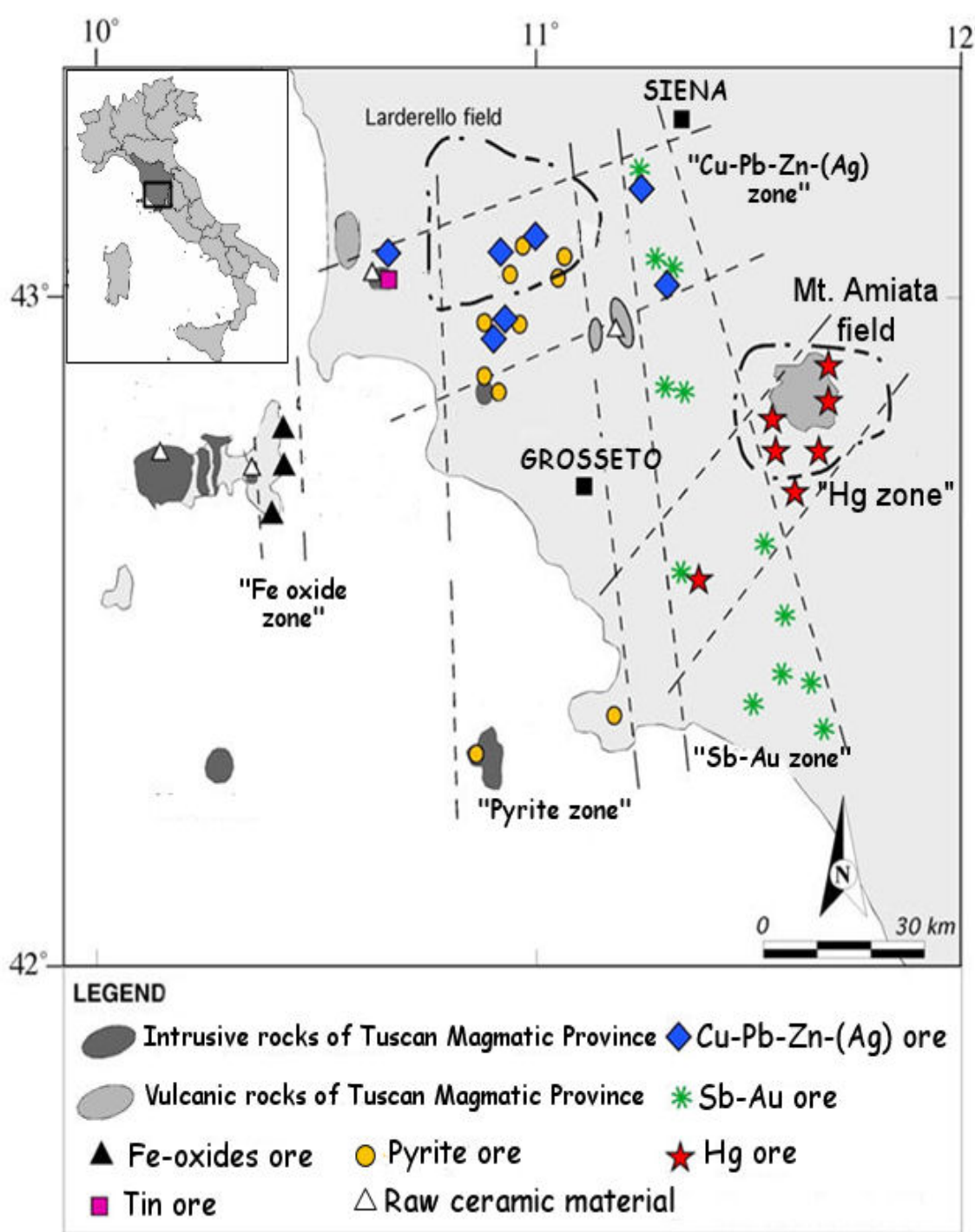
4. Amalgame dentali



5. Rifiuti industriali e ATTIVITÀ MINERARIA



CII



mesozoic to  
anean region.

2003)

# Mt. Amiata Hg district

Italy, Southern Tuscany: 400 km<sup>2</sup>

4<sup>th</sup> (3<sup>rd</sup>) largest Hg producing  
district worldwide

Industrial exploitation lasts for about 100 years  
(1897-1980): total production of Hg exceeds  
103,000 tons

The Hg mining centre of Abbadia San Salvatore was  
one of the largest and most productive in Europe



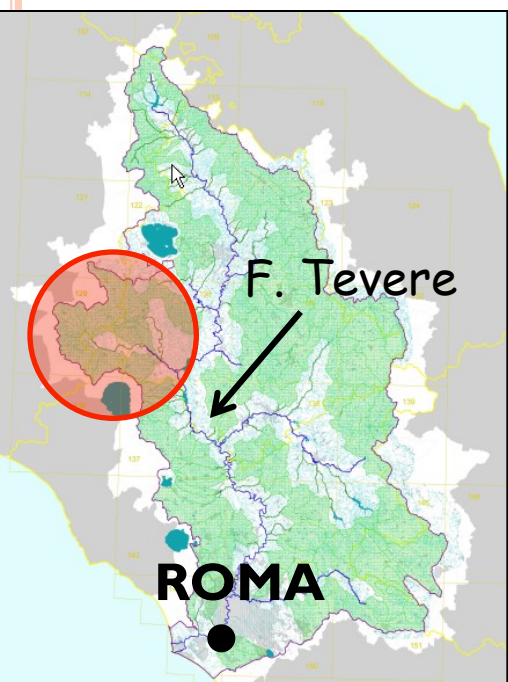
# La miniera di Abbadia S. Salvatore



# Bacino Obiettivi Paglia

→ Stima masse di Hg nonpoint sources

→ Diffusione  
in comparazione



Miniera Abbadia  
San Salvatore  
(ASSM)

T. Pagliola

Mt. Amiata

Cacarello C.

Minestrone C.

Senna C.

Siele C.

Stridolone C.

F. Paglia

Torre Alfina

ORVIETO



0 5 10 Km

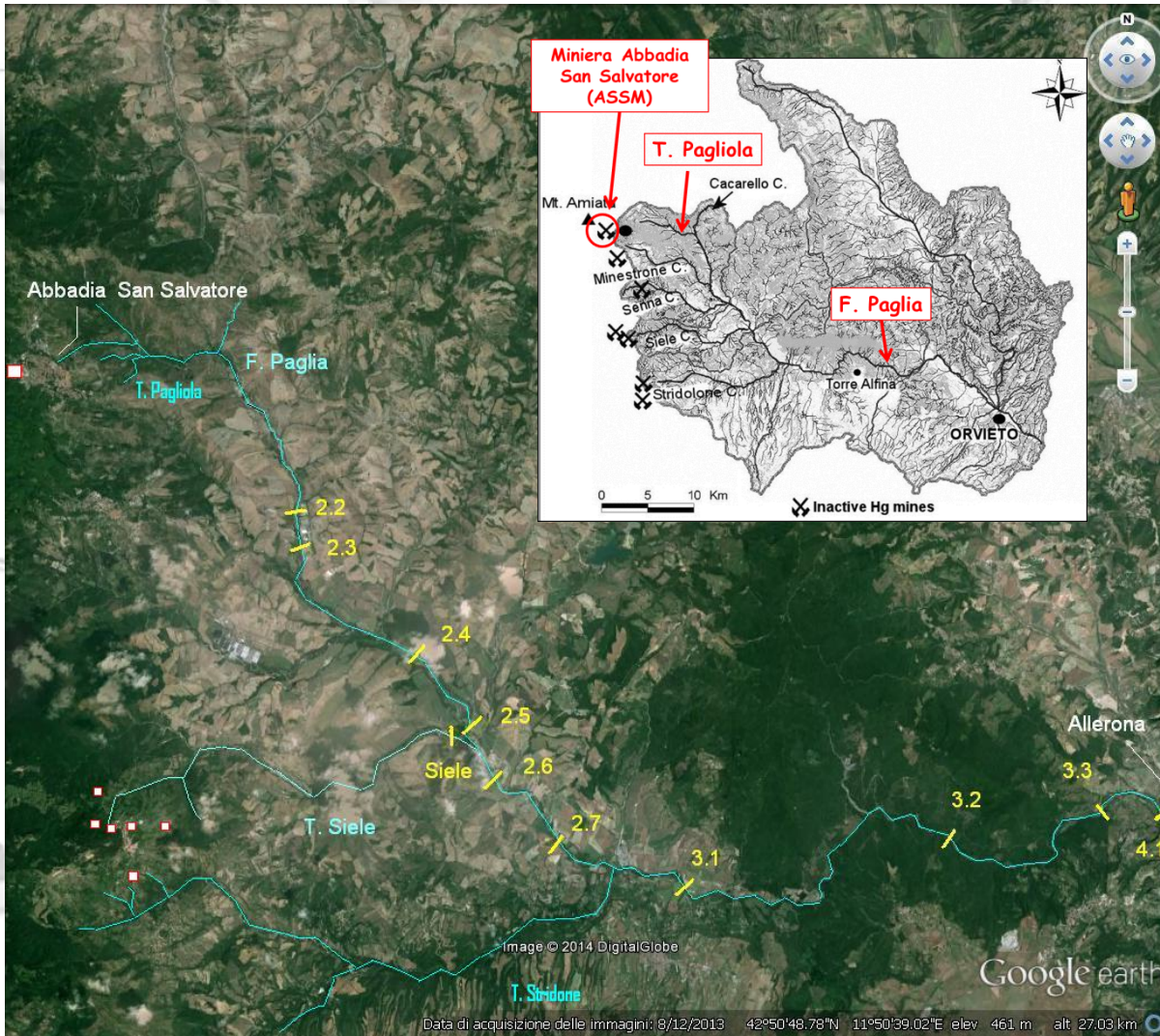
✗ Inactive Hg mines

## RETORTING: HG MASSES

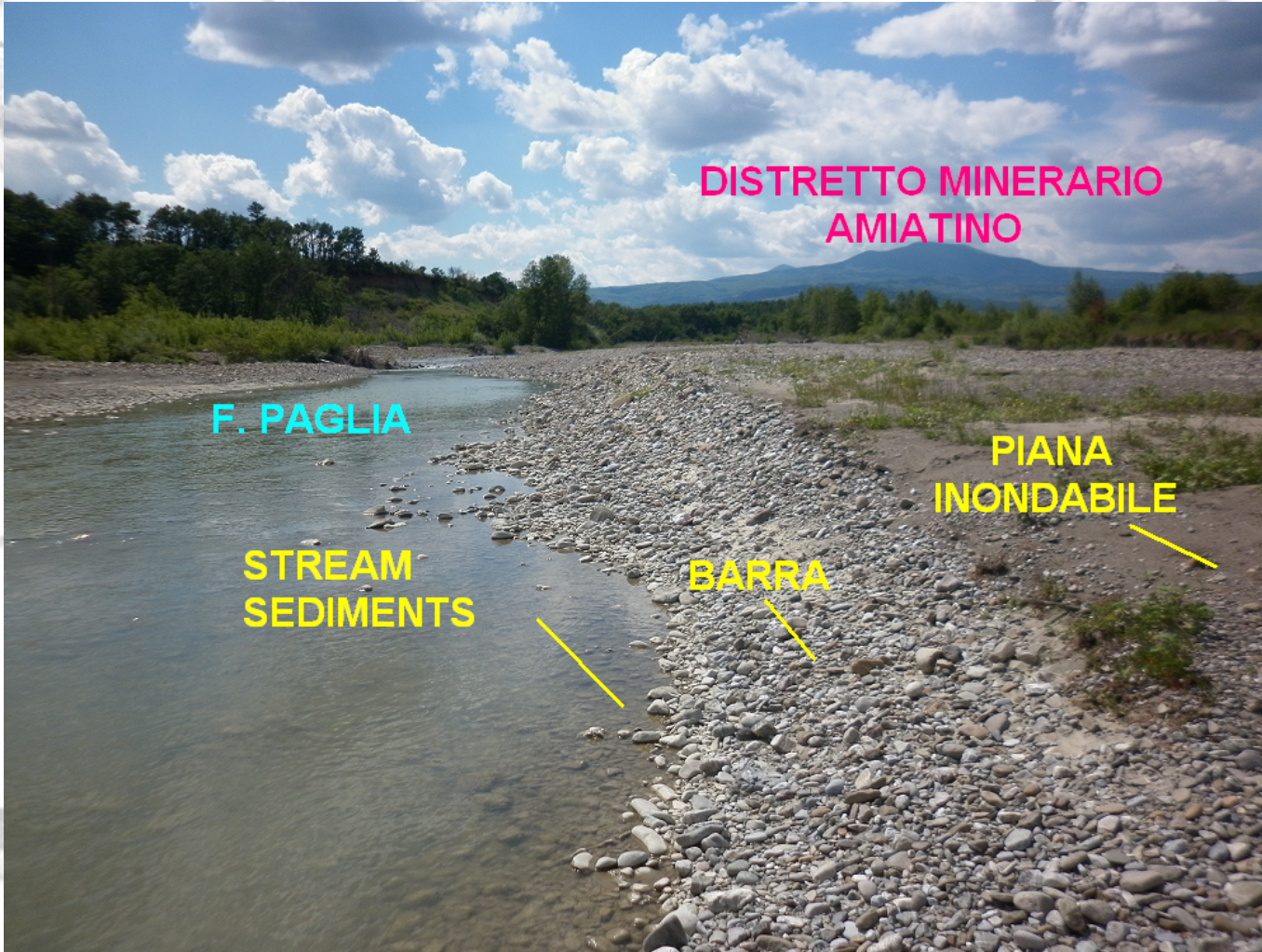
- Total production: 102 000 tons Hg
- Average recovery rate: 70%
- 146 000 tons Hg as total mineral charge
- 30% lost in calcines and atmosphere
- About 10 000 tons Hg in atmosphere
- About 34 000 tons Hg in calcines (a significant portion of calcine have been remediated)



# HG MASS ESTIMATES ALONG THE PAGLIA RIVER



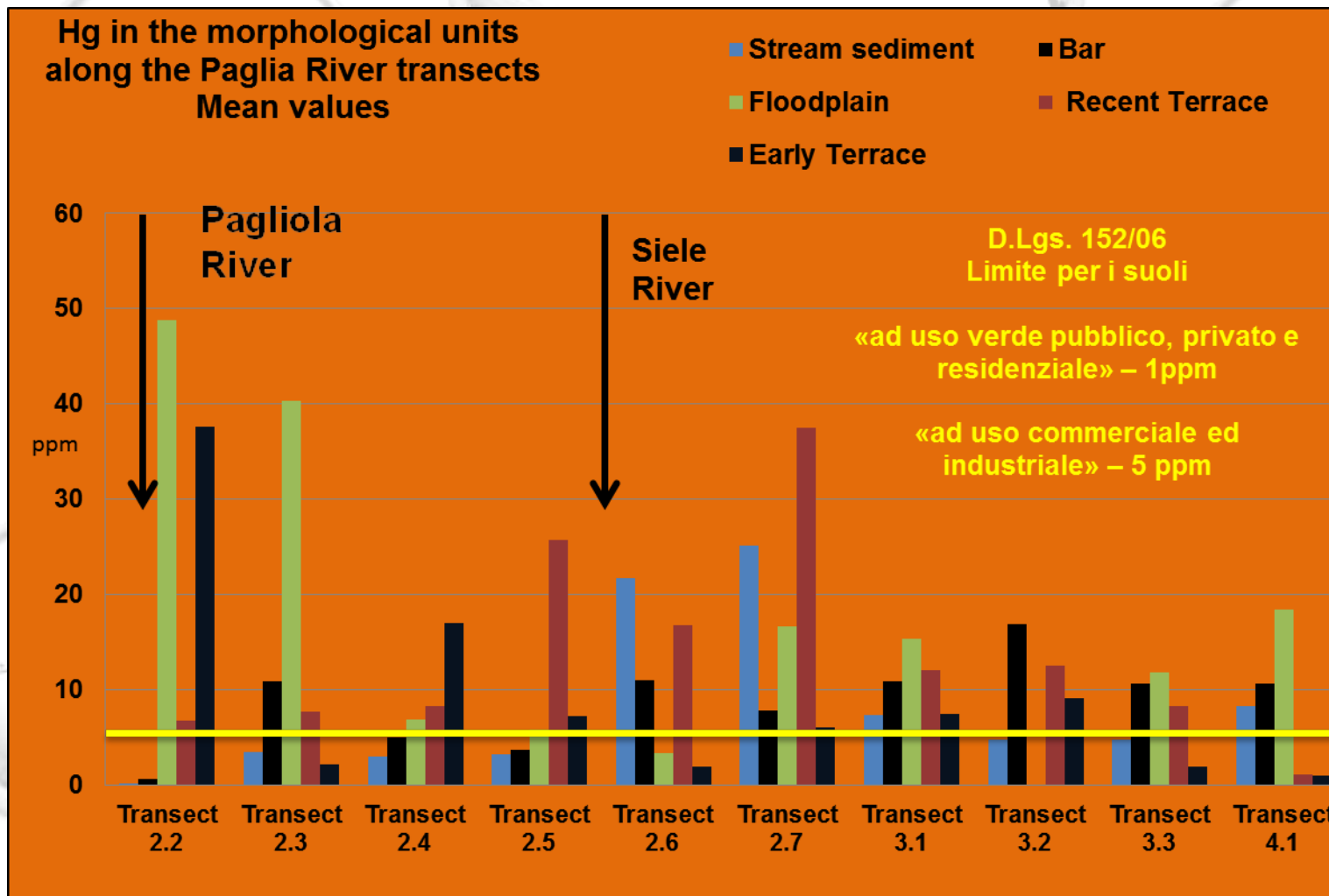
# HYDROMORPHOLOGY



# RIVER SECTIONS



# POINT VS NONPOINT (DIFFUSE) SOURCE



# MASSES

|                           | <b>Paglia River<br/>43 km</b>   | <b>Idrijca River<br/>60 Km</b>   |
|---------------------------|---|--|
| Length of the watercourse |   |  |
| Hg production period      | <b>1870-1870 (Strappa, 1977)</b>  | 1490-1995 (Žibret & Gosar, 2006)   |
| Hg produced               | <b>102,000 Tons (Gray et al., 2014)</b>   | 107,000 Tons (Žibret e Gosar, 2006)  |
| Hg dispersed              | <b>34,000 Tons (calcine) +<br/>10,000 Tons (atmosphere;<br/>Bombace et al. ,1973)</b> | 40,000 Tons<br>dissipated into the environment (Mlakar,1974; Miklavčič,1999) |
| Hg into fluvial sediments | <b><u>60 Tons</u></b>   | 2029 Tons (Žibret e Gosar, 2006)   |
| Sediment volume           | <b><u>4.1 10<sup>6</sup> m<sup>3</sup></u></b>  | <b>8.7 10<sup>6</sup> m<sup>3</sup></b>                                      |

## RISULTATI 1

- 60 tonnellate di Hg nel tratto fluviale del Paglia fino ad Allerona
- Il Paglia è quindi una sorgente secondaria (diffusa) di Hg



# 1- Distribuzione Hg

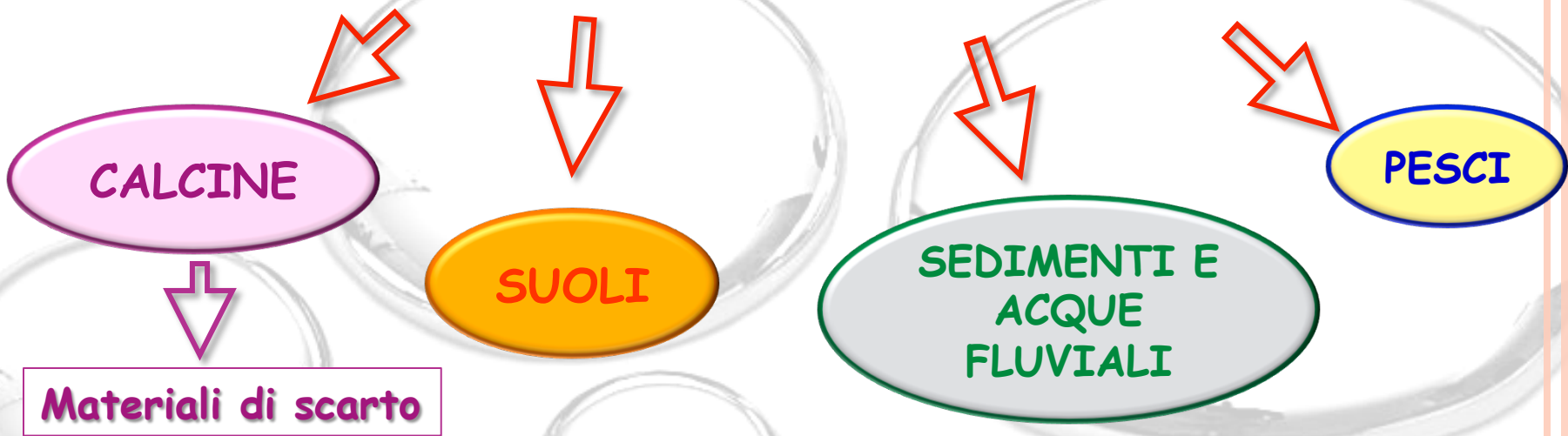
## Campionamento di varie matrici ambientali



UNIVERSITÀ  
DEGLI STUDI  
FIRENZE  
**DST**  
DIPARTIMENTO DI  
SCIENZE DELLA TERRA

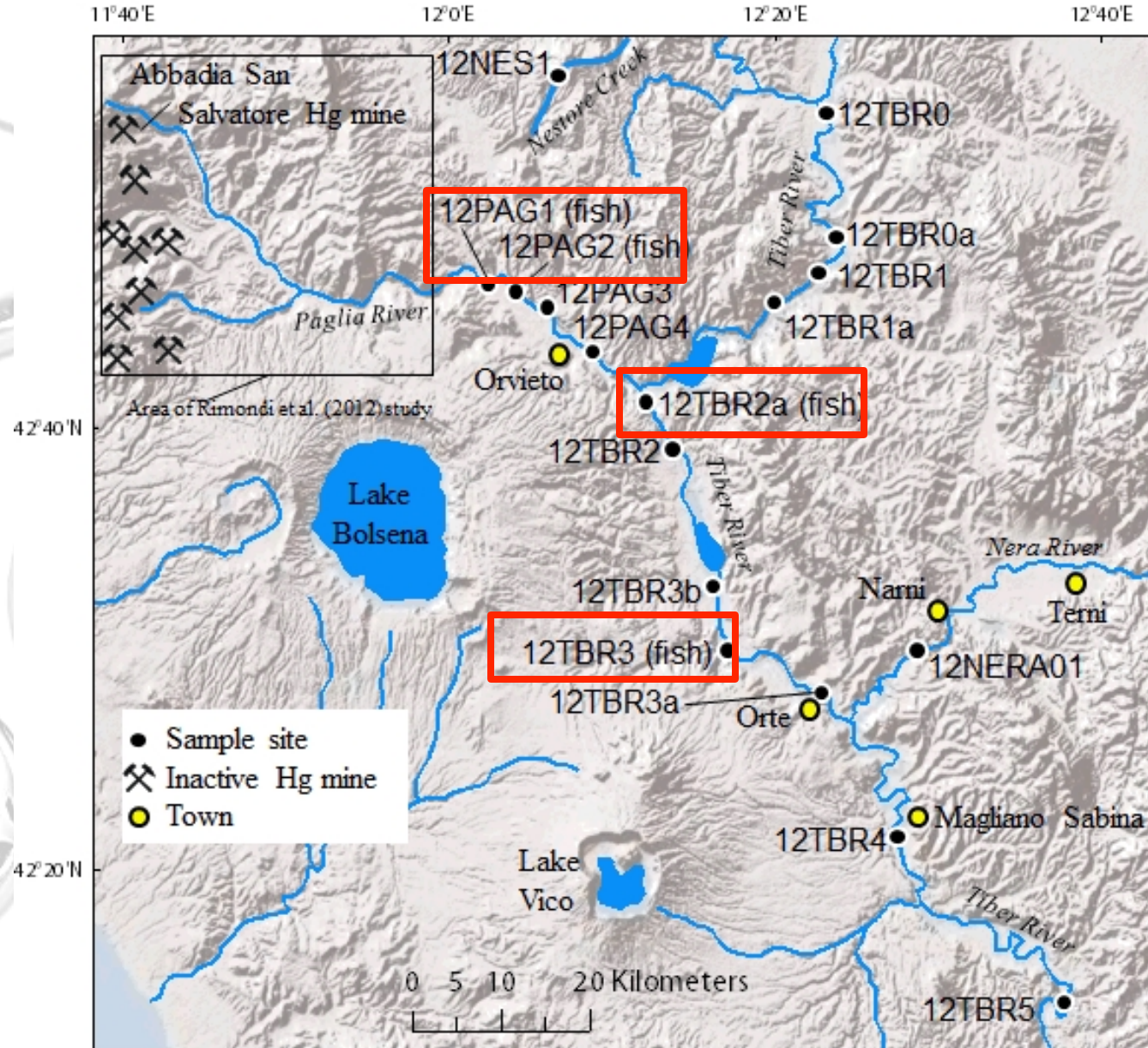


### Hg e metil-Hg



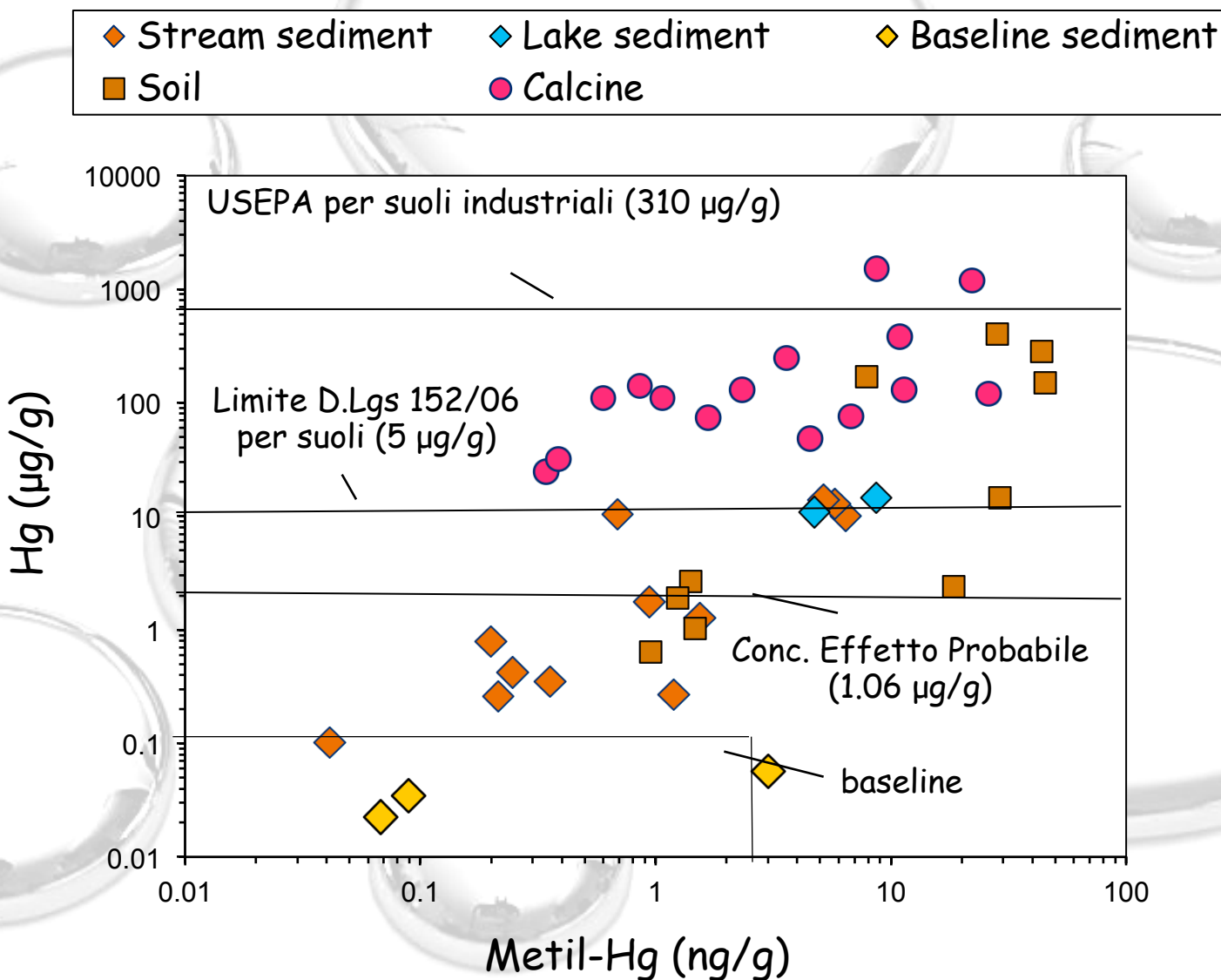
- Livelli di contaminazione e biodisponibilità
- Formazione di metil-Hg

# Bacino del F. Tevere

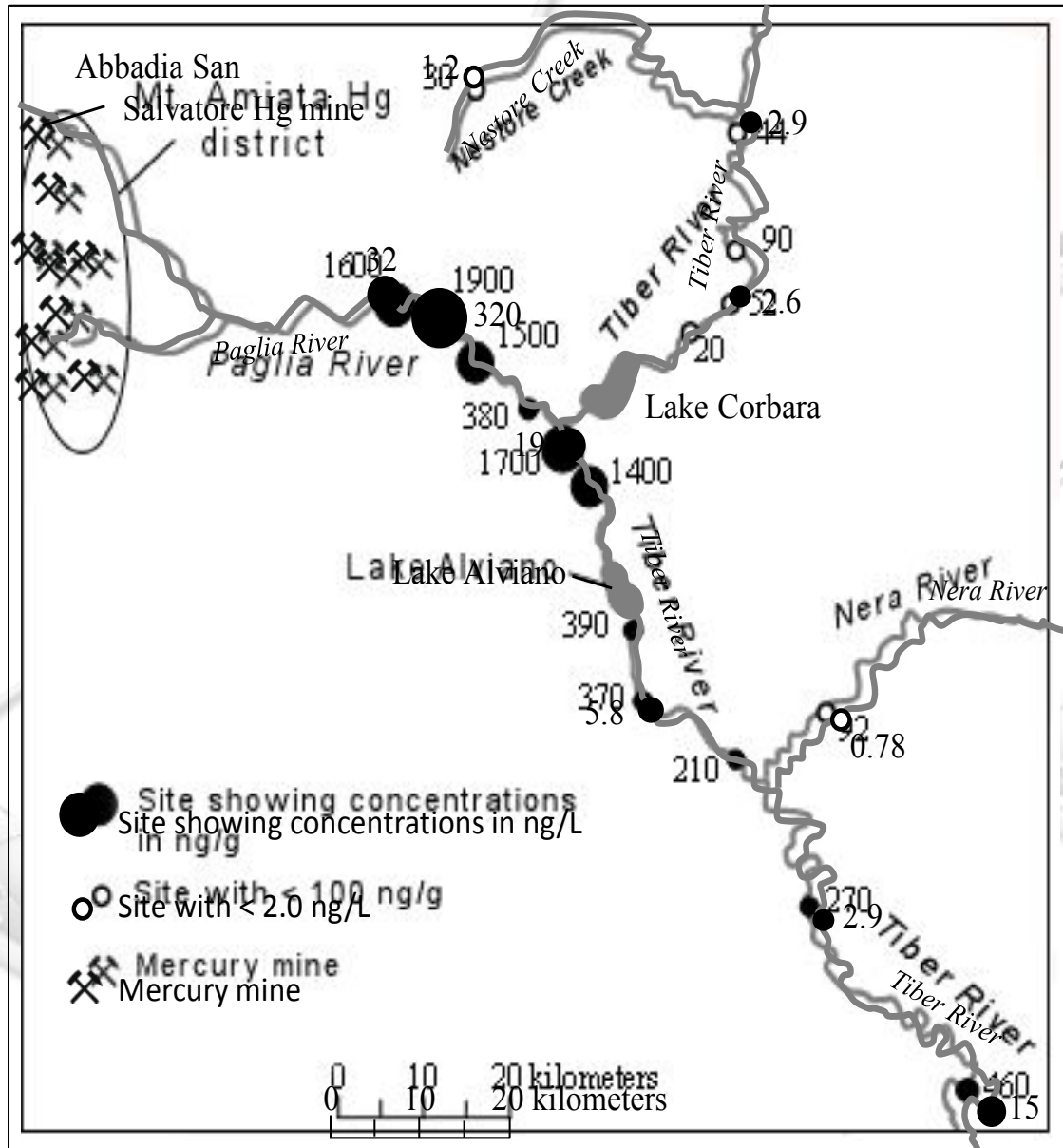


(Gray et al., EG&H 2013)

# 1- Distribuzione Hg



# Bacino del F. Tevere: Hg in sedimenti ed acque fluviali



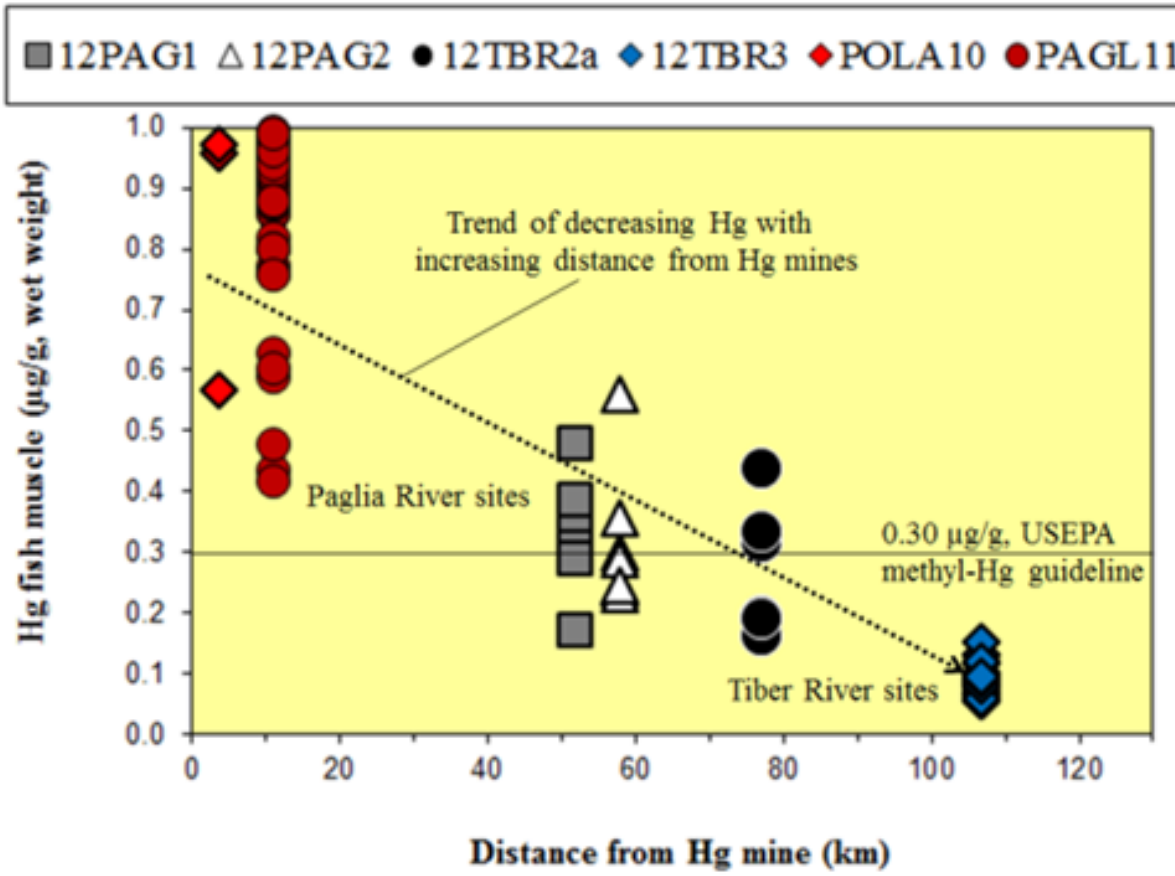
✓ Le concentrazioni di Hg nei sedimenti decrescono allontanandosi dall'Amiata

✓ La diga di Alviano (anni '60) agisce come una barriera fisica per Hg

✓ Acque presentano un simile andamento (< limiti normativi)

# 1. Bacino del F. Tevere e Paglia

Simile trend è osservato per i pesci...



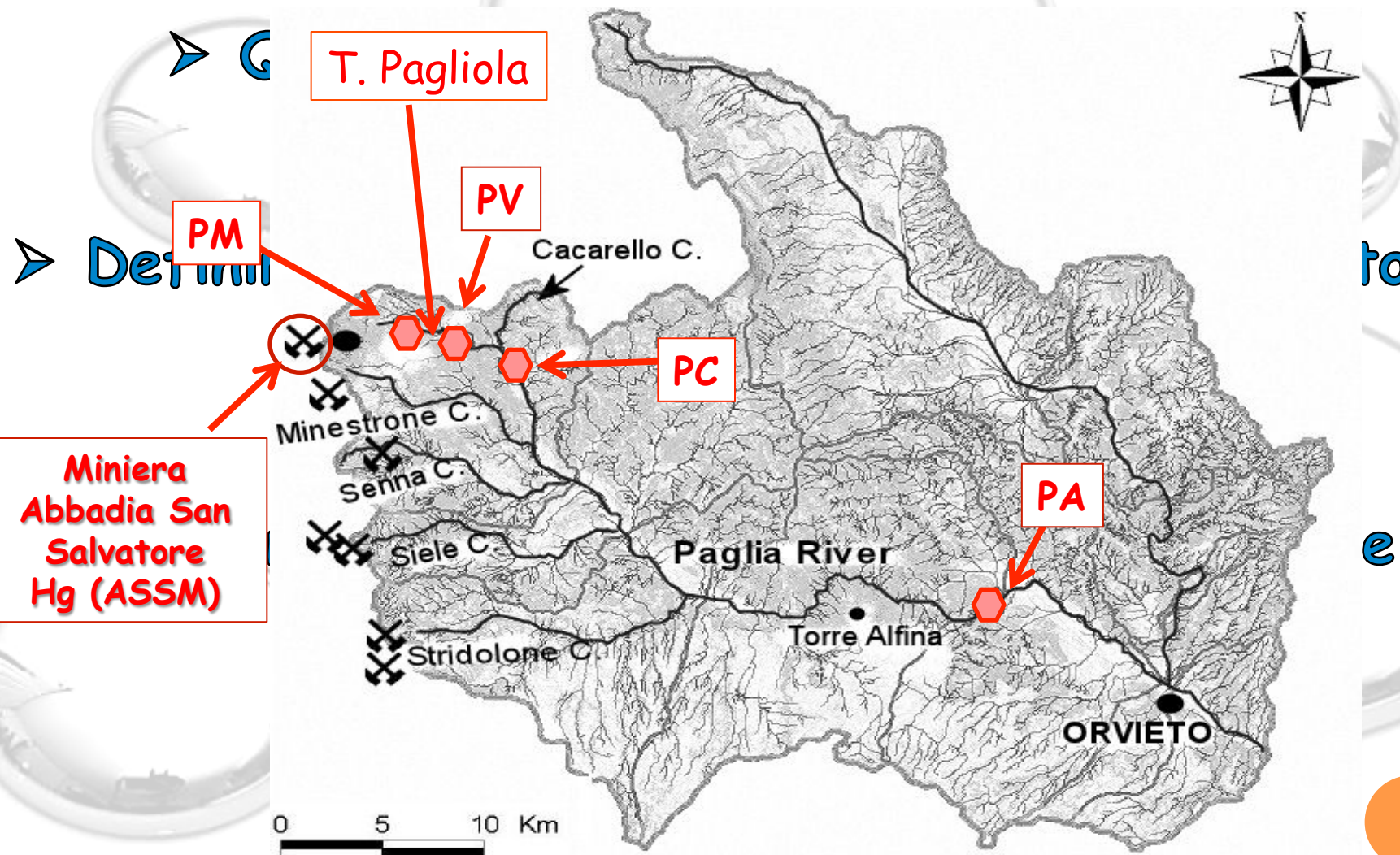
(Gray et al., EG&H 2013)

# Contaminazione del F. Paglia

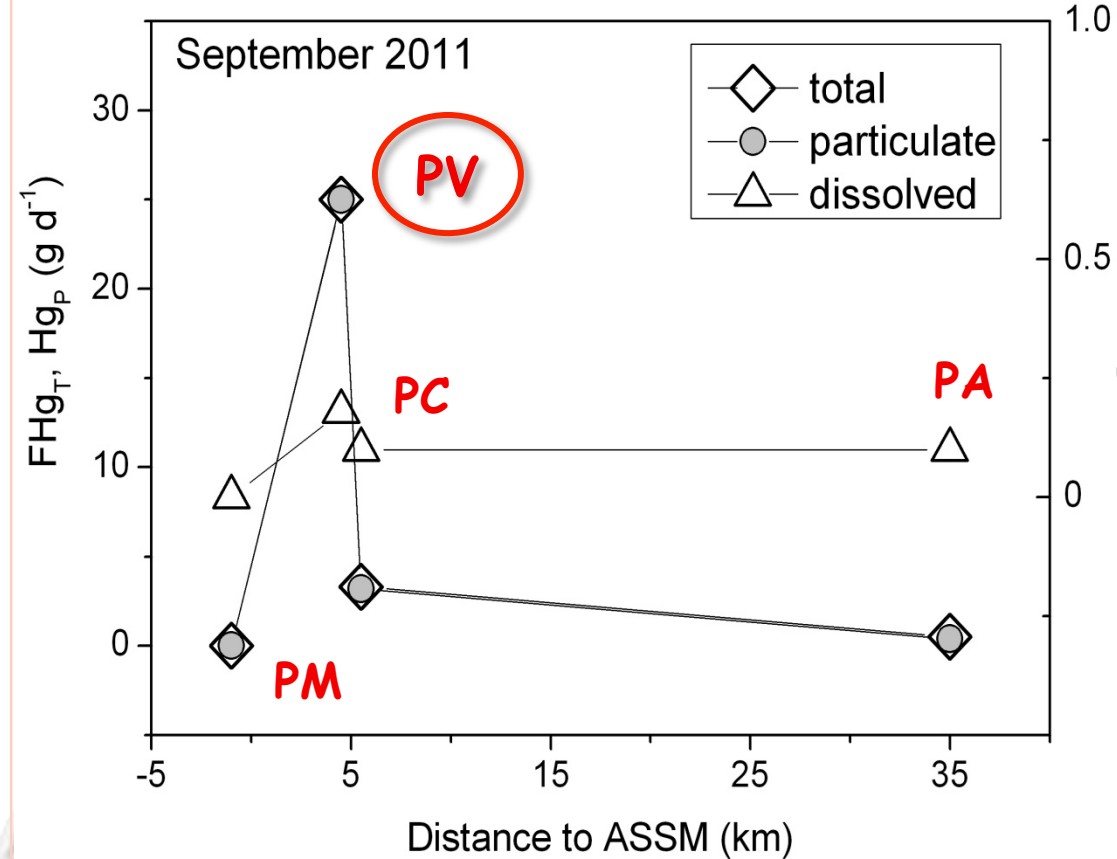
| Distretti minerari | Sedimenti          |                | Pesci                  |
|--------------------|--------------------|----------------|------------------------|
|                    | Hg<br>( $\mu$ g/g) | MMHg<br>(ng/g) | Hg<br>( $\mu$ g/g w/w) |
| Mt. Amiata, Italia | 0.26-15            | 0.20-8.7       | 0.16-1.2               |
| Almadén, Spagna    | 3.0-2,300          | 0.32-82        | 0.72-1.9               |
| Idrija, Slovenia   | 0.77-1,347         | 0.01-11        | 1.1-1.8                |

Elevata biodisponibilità di metil-Hg:  
effetto marcato di bioaccumulazione di  
Hg nei pesci del F. Paglia

## 2- Trasporto fluviale di Hg



## 2- Carico mercurio



✓ Carico a PV è simile a Marzo 2011 ( $\sim 30 \text{ g d}^{-1}$ )



Rimobilizzazione di Hg deposito in alveo

Bilancio annuale: 11 kg yr<sup>-1</sup>

Hg può arrivare al Tevere...

**Table 4** Reported total Hg loads for water draining worldwide Hg mines

| Hg mine districts and locations                                | Daily mass load<br>(g day <sup>-1</sup> ) <sup>a</sup> | Annual load<br>(kg year <sup>-1</sup> ) |
|--|--|---|
| Abbadia San Salvatore mine<br>(Mt. Amiata, Italy) <sup>b</sup> | 30   | 11                                      |
| Idrija mine (Slovenia) <sup>c</sup>                            | 4,000  | 1,500                                   |
| New Almadén mine<br>(CCR, California) <sup>d</sup>             | 30   | 4–30                                    |
| New Idrija (CCR, California) <sup>e</sup>                      | 1.3–7  | 1.5                                     |
| Gambonini mine<br>(CCR, California) <sup>f</sup>               | 1.7  | —                                       |
| Cache Creek mines<br>(CCR, California) <sup>g</sup>            | —  | 4.5–12.5                                |
| Bonanza mine (Oregon, USA) <sup>h</sup>                        | 2.0  | 0.73                                    |
| CCR mines (California, USA) <sup>i</sup>                       | 0.1–35 kg day <sup>-1</sup>                            | 61–470                                  |

CCR California Coast Ranges

<sup>a</sup> Daily loads are in g day<sup>-1</sup>, unless otherwise specified

<sup>b</sup> This study

<sup>c</sup> Širca et al. (1999)

<sup>d</sup> Thomas et al. (2002)

<sup>e</sup> Ganguli et al. (2000)

<sup>f</sup> Whyte and Kirchner (2000)

<sup>g</sup> Domagalski et al. (2004)

<sup>h</sup> Gray et al. (2012)

<sup>i</sup> David et al. (2009); Choe et al. (2003)

## TRASPORTO MASSE HG A CONFRONTO





Contents lists available at ScienceDirect

## Science of the Total Environment

journal homepage: [www.elsevier.com/locate/scitotenv](http://www.elsevier.com/locate/scitotenv)



Mercury exports from a High-Arctic river basin in Northeast Greenland (74°N) largely controlled by glacial lake outburst floods



Jens Søndergaard <sup>a,\*</sup>, Mikkel Tamstorf <sup>a</sup>, Bo Elberling <sup>b</sup>, Martin M. Larsen <sup>a</sup>, Maria Rask Mylius <sup>b</sup>, Magnus Lund <sup>a</sup>, Jakob Abermann <sup>c</sup>, Frank Rigét <sup>a</sup>

< 1,6 kg/anno di Hg !!!

Zackenberg Research Station. Source:  
Aarhus University, Department of  
Bioscience



## RISULTATI 2

- Diga di Alviano è una barriera fisica per Hg (ma nulla si distrugge ..)
- Rapporto MeHg/Hgtot elevati (?)
- Flussi Hg di circa 11 kg anno
- E' un flusso presumibilmente destinato a perdurare, almeno per qualche anno (forse **5000 anni** per 60 tons)

### 3- Speciazione Hg

## Geodisponibilità Hg

Cinabro  
( $\alpha$ -HgS)



Metacinabro  
( $\beta$ -HgS)



Hg metallico  
(Hg<sup>0</sup>)



Calomelano  
(Hg<sub>2</sub>Cl<sub>2</sub>)



Differente solubilità delle varie specie mineralogiche...

Calomelano > Hg<sup>0</sup> > metacinabro ≈ cinabro



### 3- Speciazione Hg

(1) Esperimento in luce di sincrotrone (ESRF, Grenoble): XANES

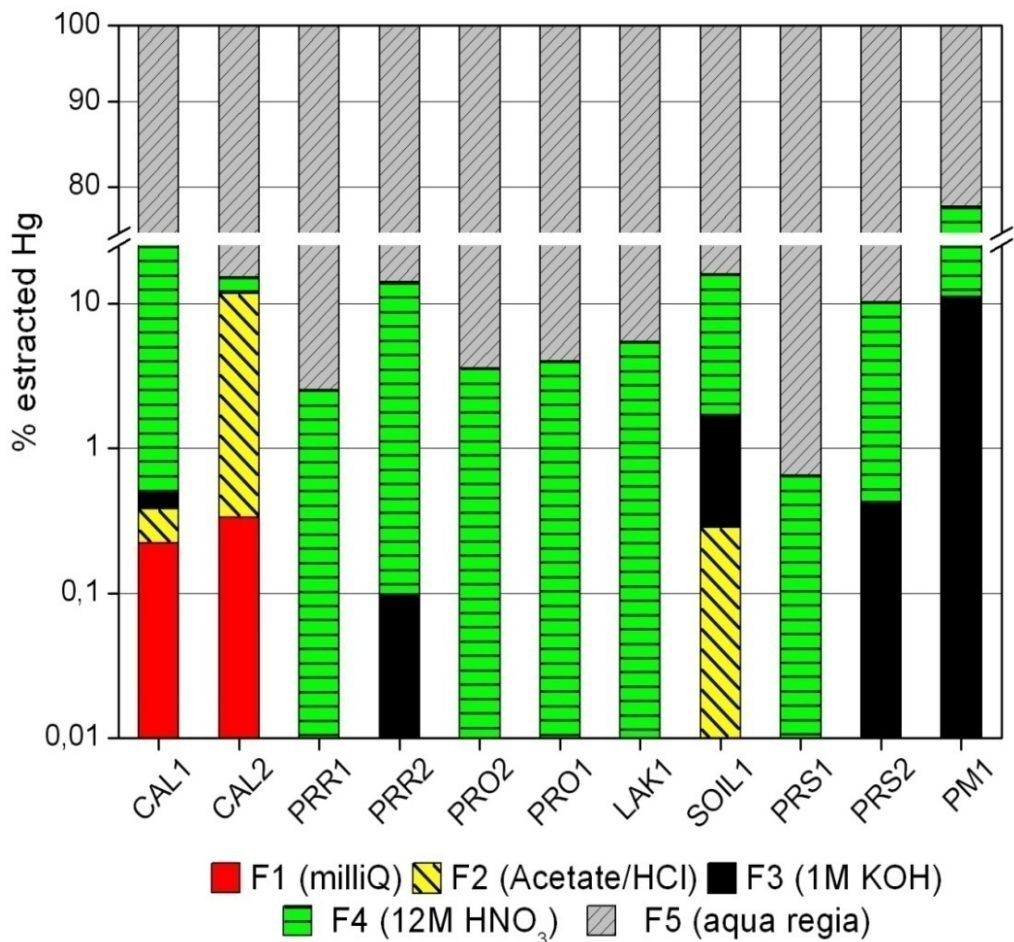
(2) Estrazioni sequenziali (SEC): 5 steps secondo Bloom et al., 2003)

(3) Tecniche di microfascio (SEM-EDS)

#### Campioni

- ✓ Calcine
- ✓ Sedimenti fluviali (fossili, recenti e attuali) e lacustri
- ✓ Particolato fluviale
- ✓ Suoli

### 3- Speciazione Hg - SEP

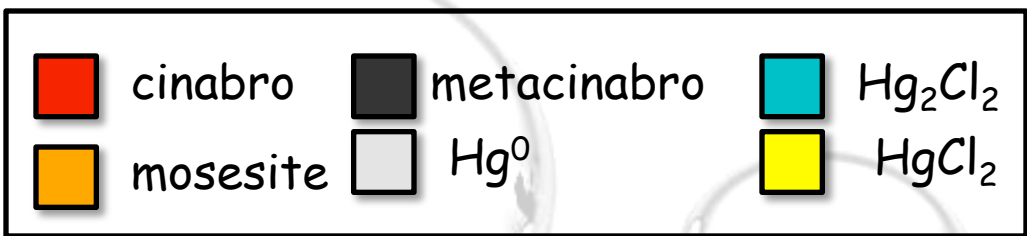
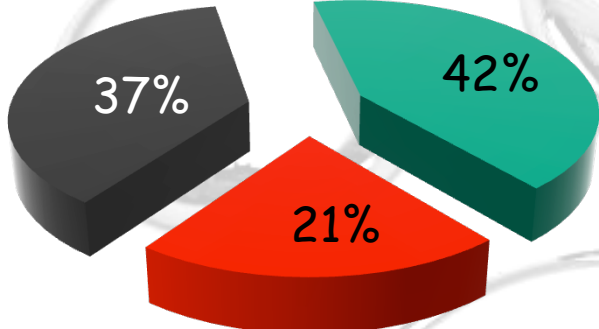


- F1:** acquo-solubile ( $\text{HgCl}_2$ );
- F2:** "stomach acid" ( $\text{HgO}$ ;  $\text{HgSO}_4$ );
- F3:** organo-complesso ( $\text{Hg}_2\text{Cl}_2$ , Hg humics,  $\text{CH}_3\text{Hg}$ );
- F4:** fortemente complessato ( $\text{Hg}^0$ ,  $\text{Hg}_2\text{Cl}_2$ );
- F5:** solfuri di Hg ( $\alpha\text{-HgS}$ ;  $\beta\text{-HgS}$ )

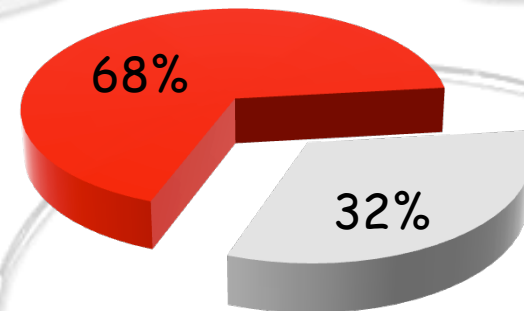
~ 80% Hg è associato a solfuri, tuttavia...  
Calcine e suoli: piccole % (< 1%) di composti  
solubili di Hg e  $\text{Hg}^0$

### 3- Speciazione Hg - XANES

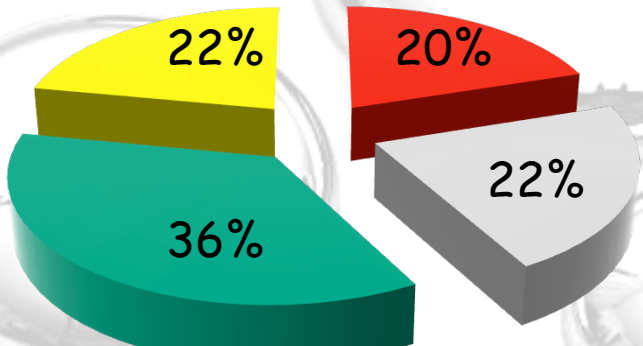
Calcine (CAL2)



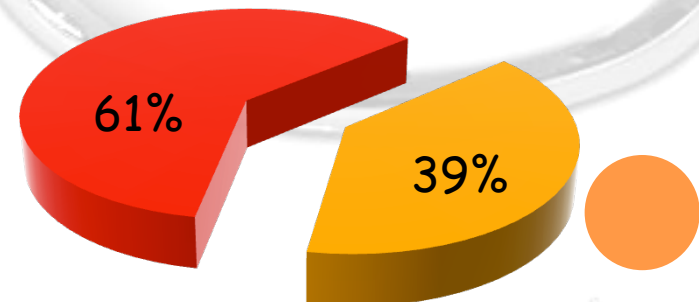
Sedimenti recenti (PRR2)



Sedimenti fluviali (PRS2)



Sedimenti fossili (PRO1)



## RESULTS HG SPECIATION

- Presence in calcine an soils of bioaccessible Hg compounds ( $\text{HgCl}_2$ ,  $\text{HgO}$ ,  $\text{HgSO}_4$ ): release of ionic Hg(II), available for Hg-methylation
- Presence of **Hg–N–Cl compounds** (mosesite): interaction of Hg with urban sludges



# FLOODS? (PEOPLE SIT AT THE TABLE OF A BAR IN A FLOODED ST. MARK'S SQUARE IN VENICE, ITALY, **SUNDAY, Nov. 11, 2012**. REUTERS)



# FLOOD EFFECTS: 2012 FLOOD

(a)



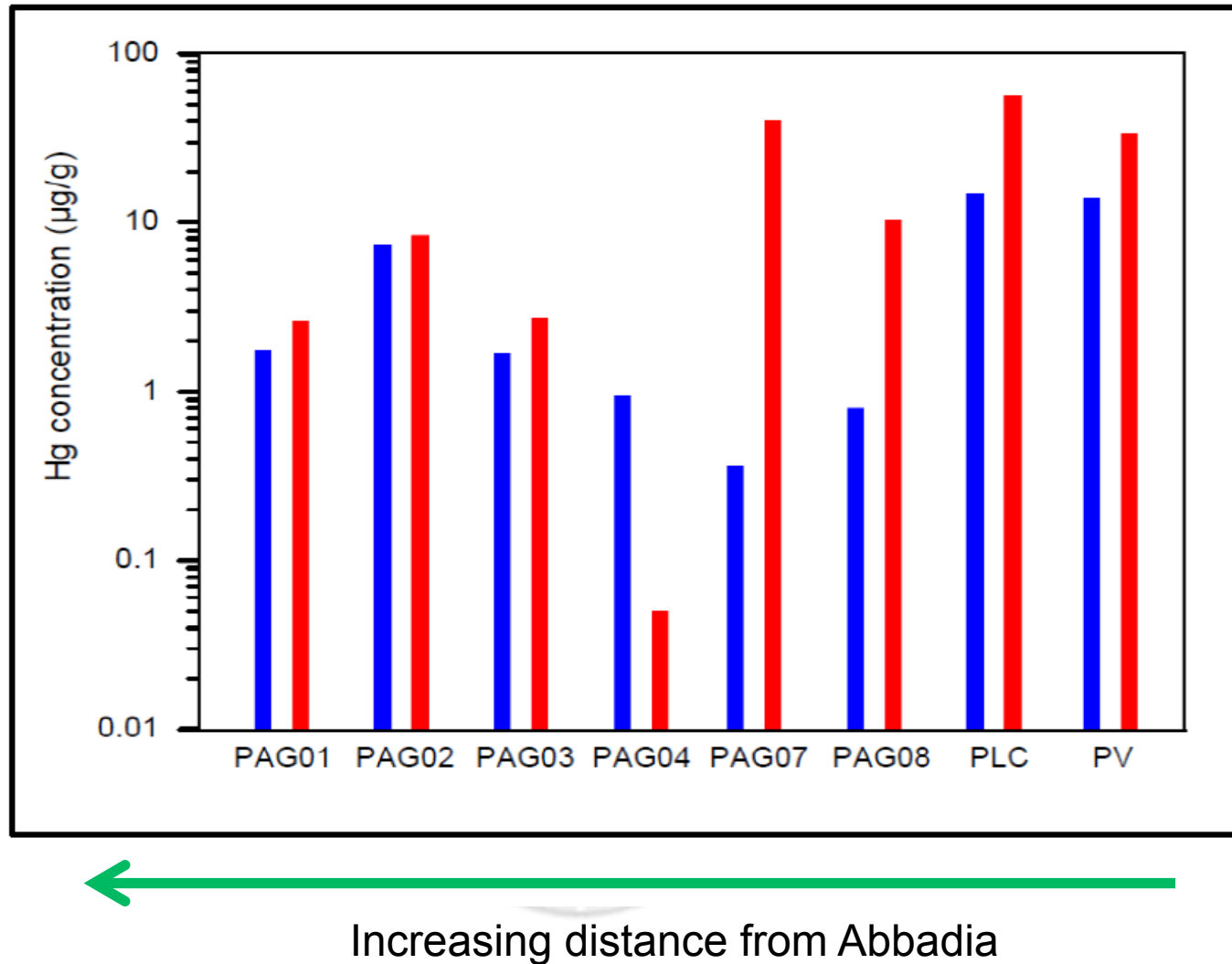
(b)



Before and after the flood

# Hg in stream sediments **before** and **after** the flood

## FLOOD EFFECTS: 2012 FLOOD



## 4- Background regionale Hg

- Ricostruzione paleo-geografica del sistema Pagliola-Paglia
- Campionamento di sedimenti considerati "pristine" (anomalia geogenica di Hg)
- Campionamento di sedimenti attuali e coevi all'attività mineraria: impatto dell'attività antropica

## 4- Background- Hg: in progress!!!

Media geometrica Hg ( $\mu\text{g g}^{-1}$ )

(Clarke:  $0.056 \mu\text{g g}^{-1}$ )

PS:  $10 \pm 4$   
TR:  $2 \pm 2$

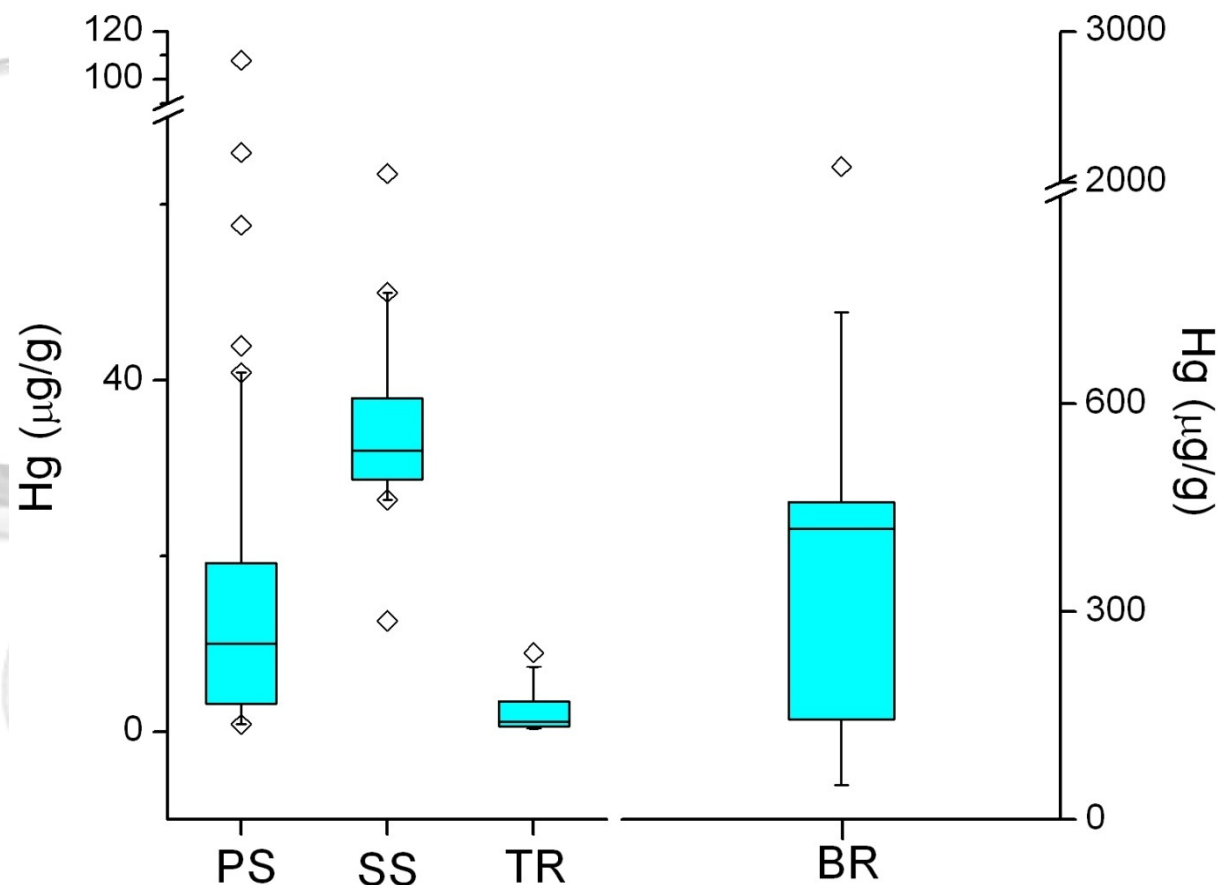


$2-6 \mu\text{g g}^{-1}$  Hg background

BR:  $290 \pm 3$   
SS:  $32 \pm 1$



Attività  
industriale



## NOTE CONCLUSIVE

- Sistema Paglia Tevere: sorgente diffusa non bonificabile
- Il back ground antropico diventa quello di riferimento
- Sarà attiva nel prossimo futuro: conseguenze per la pianificazione (, sfruttamento geotermia, itticoltura Tirreno?)
- Chimica e mineralogia dei fiumi come strumento di monitoraggio a vasta scala